

毫米波平面波导滤波器

赫崇骏 陈杰然

提 要 本文说明了通过计算机完成的毫米波平面电路波导滤波器的设计。设计结果与实验一致性能较好。该计算机程序稍加变换就可应用来设计其它类型的微波滤波器。

前 言

传统波导滤波器（矩形波导中加销钉，膜片）在毫米波段加工调试困难（销钉的直径小于1毫米），有时几乎难以实现。

平面电路滤波器可以缓和和克服上述困难。只要精确设计矩形波导中E面的电路图形，就可获得预期的滤波特性。调试和加工方便得多。

一、平面电路波导滤波器的工作原理

这里设计的滤波器是带通滤波器。平面电路波导带通滤波器结构示意图如图1。

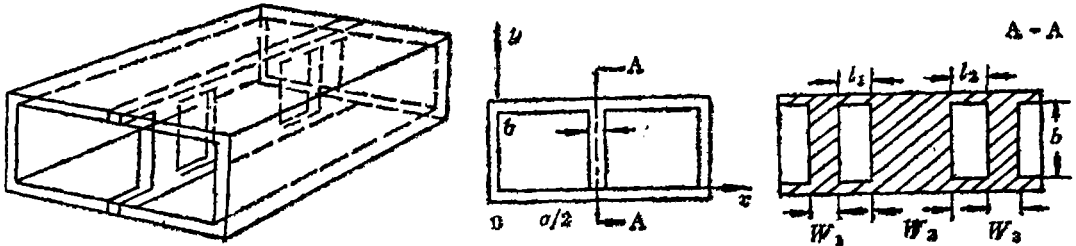


图1 金属条带平面电路波导滤波器结构图

在矩形波导宽边中心处，平行E面插入两片以上相隔一定距离的膜片，宽为 W_i ，高为 b 。两相邻膜片间的波导段构成谐振腔。在插入膜片段对主膜构成截止段，取不同 W 可调整各腔体之间耦合。就整个滤波器而言，是由 Q 值不同的一串腔体相耦合而构

成。

二、膜片等效参量的计算

为了设计滤波器必须求出带条 W 的等效参量。

如图2所示,膜片厚度 t ,宽度 W ,高度为 b ,插入波导中心膜片面与电场平行。当膜片为理想导体时,可用 T 型电抗网络来等效。

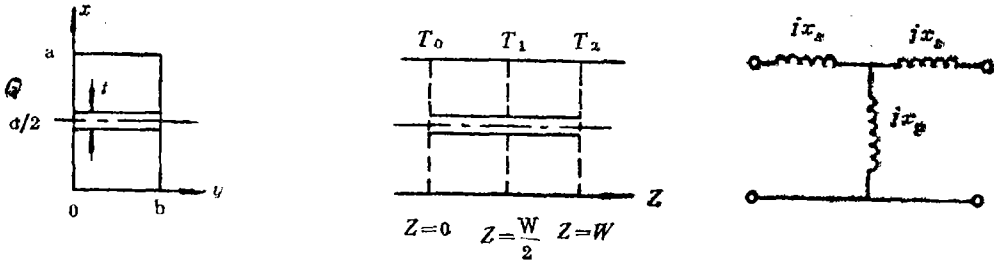


图2 膜片在波导中的位置及其等效电路

当等幅同相 TE_{10} 型波自左右同时入射时,由于结构的对称性,此时参考面 T_0 相当于一个磁壁,其等效电路如图3(a);当 TE_{10} 型波等幅反相自左右入射时, T_0 参考面相当于一个电壁,其等效电路如图3(b)所示。

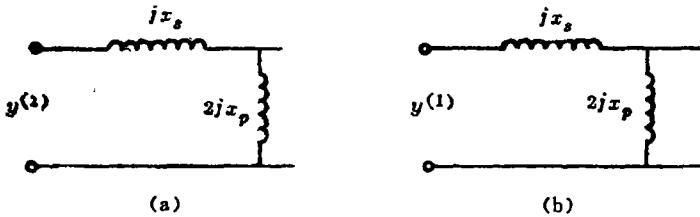


图3 T_0 参考面分别为磁壁和电壁时的等效电路

$y^{(1)}, y^{(2)}$ 分别为上述两种情况下 T_1 参考面输入导纳的归一化值。

由图3的电路可导出等效电抗参量的值为:

$$jx_s = \frac{1}{y^{(1)}}$$

$$jx_p = \frac{1}{2} \left(\frac{1}{y^{(2)}} - \frac{1}{y^{(1)}} \right) \tag{1}$$

$y^{(1)}, y^{(2)}$ 可通过模展开技术求出。

当 $Z < 0$ 时,波导内传输的波为主模 TE_{10} 和 TE_{n0} 反射模(由于膜片不连续在 $Z = 0$ 产生的反射波)。由于膜片在波导中间,因此 x 方向场必对称于波导宽边中央。其中 $n = 3, 5, 7, \dots, \infty$ 。

其场的表达式为:

$$E_y^{(i)} = a_1^{(i)} [e^{-\Gamma_i Z} + R^{(i)} e^{\Gamma_i Z}] \phi_1 + \sum_{n=3,5,\dots} a_n^{(i)} \phi_n e^{\Gamma_n Z} \tag{2a}$$

$$H_z^{(i)} = -Y_{01} a_1^{(i)} [e^{-\Gamma_i Z} - R^{(i)} e^{\Gamma_i Z}] \phi_1 \quad (2)$$

$$+ \sum_{n=3,5,\dots}^{\infty} Y_{0n} a_n^{(i)} \phi_n e^{\Gamma_n Z} \quad (2b)$$

式中, $i = 1, 2$, 分别代表 T_0 为电壁和磁壁的条件, $R^{(i)}$ 代表反射系数。

$$\phi_n = \frac{2}{\sqrt{a}} \sin \frac{n\pi x}{a},$$

$$Y_{0n} = \frac{\Gamma_n}{jk_0 \eta}, \quad \eta \text{ 为波阻抗。}$$

$$\Gamma_n = \sqrt{\left(\frac{n\pi}{a}\right)^2 - k_0^2}, \quad n = 1, 3, 5, \dots$$

$k_0 = \frac{2\pi}{\lambda_0}$ 为自由空间波数。

在 $0 < Z < W$ 内, TE_{m0} 模都可传播, 并且是截止波, 因此其表达式为:

$$E_y^{(i)} = \sum_m b_m^{(i)} \psi_m A_m^{(i)}(Z) \quad (3)$$

$$H_z^{(i)} = \sum_m b_m^{(i)} Y_m \psi_m B_m^{(i)}(Z)$$

式中, $m = 1, 2, \dots$

$$A_m^{(1)} = B_m^{(2)} = \sinh \Gamma_m \left(Z - \frac{W}{2} \right)$$

$$A_m^{(2)} = B_m^{(1)} = \cosh \Gamma_m \left(Z - \frac{W}{2} \right)$$

$$\psi_m = \frac{2}{\sqrt{a-t}} \sin \frac{2m\pi x}{a-t}$$

式中,

(4)

$$0 \leq x \leq \left(\frac{a}{2} - \frac{t}{2} \right)$$

$$\left(\frac{a}{2} + \frac{t}{2} \right) \leq x \leq a$$

$$\psi_m = 0 \quad \left(\frac{a}{2} - \frac{t}{2} \right) \leq x \leq \left(\frac{a}{2} + \frac{t}{2} \right)$$

$$\Gamma_m = \sqrt{\left(\frac{2m\pi}{a-t}\right)^2 - k_0^2}, \quad Y_m = \frac{\Gamma_m}{jk_0 \eta} \quad (5)$$

设 $Z = 0$ 处的场强分布为 $\varepsilon(x)^{(i)}$, 根据场强连续性原理, $Z = 0$ 处的场强表达式为:

$$\begin{aligned} \varepsilon(x)^{(i)} &= a_1^{(i)} (1 + R^{(i)}) \phi_1 + \sum_n a_n^{(i)} \phi_n \\ &= \sum_m b_m^{(i)} \psi_m A_m^{(i)}(0) \end{aligned} \quad (6)$$

$Z = 0$ 处磁场为:

$$\begin{aligned} & Y_{01} a_1^{(i)} (R^{(i)} - 1) \phi_1 + \sum_n^{\infty} Y_{0n} a_n^{(i)} \phi_n \\ &= \sum_m^{\infty} b_m^{(i)} \psi_m B_m^{(i)}(0) Y_m \end{aligned} \quad (7)$$

由模函数的正交性并利用(6)式则有:

$$a_1^{(i)} = \frac{1}{1 + R^{(i)}} \int_0^{a/2} \varepsilon^{(i)}(x) \phi_1 dx \quad (8)$$

$$a_n^{(i)} = \int_0^{a/2} \varepsilon^{(i)}(x) \phi_n dx \quad (9)$$

$$(n = 3, 5, \dots)$$

$$b_m^{(i)} = \frac{1}{A_m^{(i)}(0)} \int_0^{(a-t)/2} \varepsilon^{(i)}(x) \psi_m dx \quad (10)$$

$$(m = 1, 2, \dots)$$

把(8)和(10)式代入(7)式

$$\begin{aligned} & \left[-Y_{01} Y^{(i)} \phi_1 \int_0^{a/2} \varepsilon^{(i)}(x) \phi_1 dx \right]^2 = \sum_m^{\infty} \frac{B_m^{(i)}(0)}{A_m^{(i)}(0)} \cdot \\ & Y_m \psi_m \int_0^{(a-t)/2} \varepsilon^{(i)}(x) \psi_m dx \end{aligned} \quad (11)$$

式中,

$$y^{(i)} = \frac{1 - R^{(i)}}{1 + R^{(i)}}$$

在(11)式两边同乘以 $\varepsilon^{(i)}(x')$ 并在相应的区间积分得:

$$\begin{aligned} y^{(i)} &= \frac{1}{Y_{01} \left[\int_0^{a/2} \varepsilon^{(i)}(x) \phi_1 dx \right]^2} \int_0^{a/2} \int_0^{a/2} \\ & G^{(i)}(x/x') \varepsilon^{(i)}(x) \varepsilon^{(i)}(x') dx dx' \end{aligned} \quad (12)$$

式中,

$$\begin{aligned} G^{(i)}(x/x') &= \sum_{n=3,5,\dots}^{\infty} Y_{0n} \phi_n(x) \phi_n(x') \\ &+ \sum_m^{\infty} Y_m Q_m^{(i)} \psi_m(x) \psi_m(x') \\ Q_m^{(1)} &= \coth \frac{\Gamma_m W}{2}, \quad Q_m^{(2)} = \tanh \frac{\Gamma_m W}{2} \end{aligned}$$

式(12)为一变分表达式。因为式(12)可以改写成:

$$\begin{aligned} & Y^{(i)} Y_{01} \left[\int_0^{a/2} \varepsilon^{(i)}(x) \phi_1 dx \right]^2 \\ &= \int_0^{a/2} \int_0^{a/2} G^{(i)}(x/x') \varepsilon^{(i)}(x) \varepsilon^{(i)}(x') dx dx' \end{aligned}$$

对上式进行变分得:

$$\begin{aligned}
 & Y_{01} \left[\int_0^{a/2} \varepsilon^{(i)}(x) \phi_1 dx \right]^2 dy^{(i)} \\
 & + 2y^{(i)} Y_{01} \int_0^{a/2} \varepsilon^{(i)}(x) \phi_1 dx \int_0^{a/2} \varepsilon^{(i)}(x') \phi_1 dx' \\
 & = 2 \int_0^{a/2} \int_0^{a/2} G^{(i)}(x/x') \varepsilon^{(i)}(x') d\varepsilon^{(i)}(x) dx dx'
 \end{aligned}$$

整理上式得：

$$\begin{aligned}
 & Y_{01} \left[\int_0^{a/2} \varepsilon^{(i)}(x) \phi_1 dx \right]^2 dy^{(i)} \\
 & = 2 \int_0^{a/2} \delta \varepsilon^{(i)}(x) \left[-y^{(i)} Y_{01} \phi_1 \int_0^{a/2} \varepsilon^{(i)}(x') \phi_1 dx' \right. \\
 & \quad \left. + \int_0^{a/2} G^{(i)}(x/x') \varepsilon^{(i)}(x') dx' \right] dx
 \end{aligned}$$

由(11)式可以证明上式右端为零。

用里兹法可以解出式(12)的 $y^{(i)}$ 。但必须选定 $\varepsilon^{(i)}$ 的试验函数表达式, 现选 $\varepsilon^{(i)}$ 为:

$$\varepsilon^{(i)}(x) = \sum_{v=1}^{\infty} m_v \sin \frac{2v\pi}{a-t} x \quad (13)$$

把(13)式代入(12)式, 经过积分:

$$y^{(i)} = \frac{N(m_1, m_2, \dots)}{D(m_1, m_2, \dots)} \quad (14)$$

式中,

$$\begin{aligned}
 & N(m_1, m_2, \dots) \\
 & = \sum_n Y_{0n} (\sin n\theta)^2 \left(\sum_{v=1}^{\infty} m_v A_{v,n} \right)^2 \\
 & \quad + (a-t) \sum_{v=1}^{\infty} m_v^2 Y_v Q_v^{(i)} \\
 & \quad \quad \quad (n=3, 5, \dots, \infty) \\
 & D(m_1, m_2, \dots) = Y_{01} \left(\sum_{v=1}^{\infty} m_v A_{v,t} \right)^2
 \end{aligned}$$

其中,

$$\begin{aligned}
 Q & = \left(1 - \frac{t}{a} \right) \frac{\pi}{a} \\
 A_{v,n} & = (-1)^v \frac{\sqrt{a}}{\pi} \frac{8va(a-t)}{n^2(a-t)^2 - 4v^2a^2}
 \end{aligned}$$

根据变分原理有:

$$\frac{\partial y^{(i)}}{\partial m_v} = 0$$

即

$$\frac{\partial N}{\partial m_v} = y^{(i)} \frac{\partial D}{\partial m_v} \quad (15)$$

这是关于 m_v 的 v 元一次方程组。用矩阵表示为:

$$\begin{aligned}
 & Y_{01}y^{(i)}A_{21} \left(\begin{array}{cc} P_{11}^{(i)} & P_{12} \\ A_{11} & A_{21} \\ \dots & \dots \\ P_{v1} - Y_{01}y^{(i)}A_{11}A_{v1} & P_{v2} - Y_{01}y^{(i)}A_{21}A_{v1} \\ \dots & P_{1v} \\ \dots & A_{1v} \\ \dots & \dots \\ \dots & P_{vv}^{(i)} - Y_{01}y^{(i)}A_{v1}^2 \end{array} \right) \\
 & - Y_{01}y^{(i)}A_{11} \left(\begin{array}{cc} A_{11} & A_{21} \\ P_{21} & P_{22}^{(i)} \\ \dots & \dots \\ P_{v1} - Y_{01}y^{(i)}A_{11}A_{v1} & P_{v2} - Y_{01}y^{(i)}A_{21}A_{v1} \\ \dots & A_{1v} \\ \dots & P_{2v} \\ \dots & \dots \\ \dots & P_{vv}^{(i)} - Y_{01}y^{(i)}A_{v1}^2 \end{array} \right) \\
 & - Y_{01}y^{(i)}A_{21} \left(\begin{array}{cc} A_{11} & A_{21} \\ A_{11} & A_{21} \\ \dots & \dots \\ P_{v1} - Y_{01}y^{(i)}A_{11}A_{v1} & P_{v2} - Y_{01}y^{(i)}A_{21}A_{v1} \\ \dots & A_{v1} \\ \dots & A_{v1} \\ \dots & \dots \\ \dots & P_{vv}^{(i)} - Y_{01}y^{(i)}A_{v1}^2 \end{array} \right)
 \end{aligned}$$

由行列式的性质可知，含系数 $y^{(i)}$ 高次项的行列式的值为 0。于是有：

$$y^{(i)} = \frac{H^{(i)}}{Y_{01}L^{(i)}} = \frac{120\pi}{\sqrt{1 - \left(\frac{\lambda}{2a}\right)^2}} \cdot \frac{H^{(i)}}{L^{(i)}} \quad (17)$$

其中

$$\begin{aligned}
 H^{(i)} &= \begin{vmatrix} P_{11}^{(i)} & P_{12} & \dots & P_{1v} \\ P_{21} & P_{22}^{(i)} & \dots & P_{2v} \\ \dots & \dots & \dots & \dots \\ P_{v1} & P_{v2} & \dots & P_{vv}^{(i)} \end{vmatrix} \\
 L^{(i)} &= A_{11} \begin{vmatrix} A_{11} & A_{21} & \dots & A_{v1} \\ P_{21} & P_{22}^{(i)} & \dots & P_{v2} \\ \dots & \dots & \dots & \dots \\ P_{v1} & P_{v2} & \dots & P_{vv}^{(i)} \end{vmatrix}
 \end{aligned}$$

$$\begin{aligned}
 & + A_{21} \begin{vmatrix} P_{11}^{(i)} & P_{12} & \cdots & P_{1\nu} \\ A_{11} & A_{21} & \cdots & A_{\nu 1} \\ \vdots & \vdots & \cdots & \vdots \\ P_{\nu 1} & P_{\nu 2} & \cdots & P_{\nu\nu}^{(i)} \end{vmatrix} \\
 & + \cdots + A_{\nu 1} \begin{vmatrix} P_{11}^{(i)} & P_{12} & \cdots & P_{1\nu} \\ P_{21} & P_{22}^{(i)} & \cdots & P_{2\nu} \\ \vdots & \vdots & \cdots & \vdots \\ A_{11} & A_{21} & \cdots & A_{\nu 1} \end{vmatrix}
 \end{aligned}$$

式(17)的计算常采用数字计算机。用电子计算机算出 $y^{(i)}$, 再根据式(1)可算出 x_p, x_s 。

三、滤波器的设计

为了利用经典的滤波器设计方法, 要求求出膜片 W 的 T 形等效网络和 K 变换器的等效关系。如图 4 所示。

令 T 形网络的 A 矩阵和 K 的 A 矩阵相等得

$$\left. \begin{aligned} k_{j-1,j} &= \left| \tan\left(\frac{1}{2}\phi_j + \tan^{-1}x_{sj}\right) \right| \\ \phi_j &= -\tan^{-1}(2x_{pj} + x_{sj}) - \tan^{-1}x_{sj} \end{aligned} \right\} \quad (18)$$

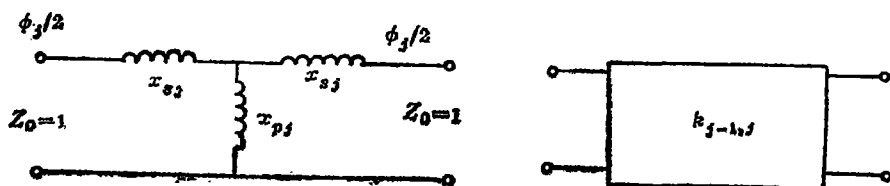


图 4 膜片 W 的 T 形等效网络和 K 变换等效

式中, $j=1, 2, \dots, n+1$ 。

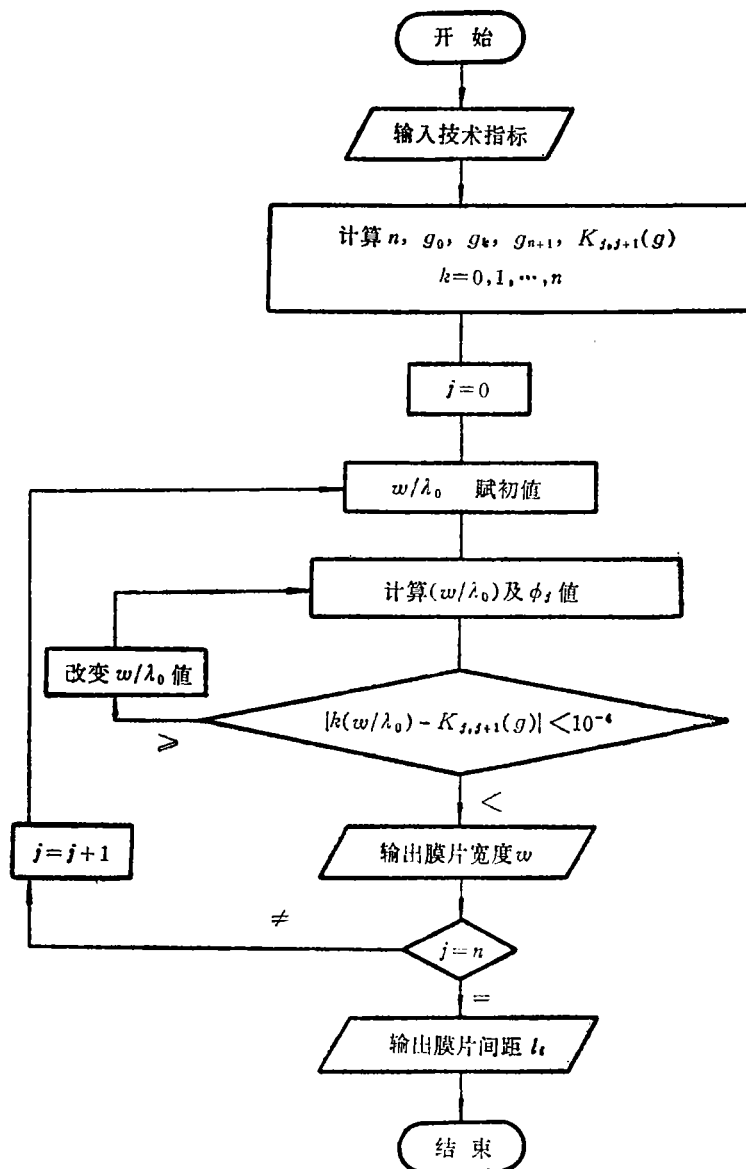
由滤波器原理可知, 膜片之间的波导长度为:

$$l_j = \frac{\lambda_{g0}}{2\pi} \left[\theta_j + \frac{1}{2}(\phi_j + \phi_{j+1}) \right]$$

式中, $j=1, 2, 3, \dots, n$ 。当谐振腔谐振于中心频率时, $\theta_j = \pi$

$$l_j = \frac{\lambda_{g0}}{2} \left[1 + \frac{1}{2\pi}(\phi_j + \phi_{j+1}) \right] \quad (19)$$

滤波器设计的计算框图如下:



四、几点说明

(一)滤波器机辅设计主要困难是设法算出 K 变换后如何求出所要求的膜片宽度 W ，也就是由 x_s, x_p 反过来求所要求的 W 。

由式(17)可知，为了保证计算精度应计算足够量的行列式。

用查曲线的办法计算 W 很难保证计算精度。

(二)为了保证计算精度要选取适当的 n 和 ν 。在计算机上进行收敛计算，当 $n=17$ 时， $\Delta k = k_n - k_{n+1} = 0.00026$ ，满足要求。

由表 1 可以看出, ν 愈大愈收敛。

最后, n 和 ν 的选取值应在 W 的精度被满足的条件下来取。表 2 给出的结果表明 $\nu=8$ 可满足百分之几毫米的精度。

表 1

试探函数项数	电抗参量 $X_s(\nu)$	电抗参量 $X_p(\nu)$	$\Delta X_s = X_s(\nu+1)$	$\Delta X_p = X_p(\nu+1)$
$\nu=4$	$x_s(4)=0.146607$	$x_p(4)=0.269467$	$-x_s(\nu)$	$-x_p(\nu)$
$\nu=5$	$x_s(5)=0.148549$	$x_p(5)=0.272184$	0.001942	0.002717
$\nu=6$	$x_s(6)=0.149827$	$x_p(6)=0.274094$	0.001278	0.001910
$\nu=7$	$x_s(7)=0.150750$	$x_p(7)=0.275575$	0.000923	0.001481
$\nu=8$	$x_s(8)=0.151482$	$x_p(8)=0.276842$	0.000732	0.001267
$\nu=9$	$x_s(9)=0.152140$	$x_p(9)=0.278082$	0.000658	0.001246
$\nu=10$	$x_s(10)=0.152997$	$x_p(10)=0.279924$	0.000855	0.001836
$\nu=11$	$x_s(11)=0.153338$	$x_p(11)=0.280500$	0.000343	0.000576

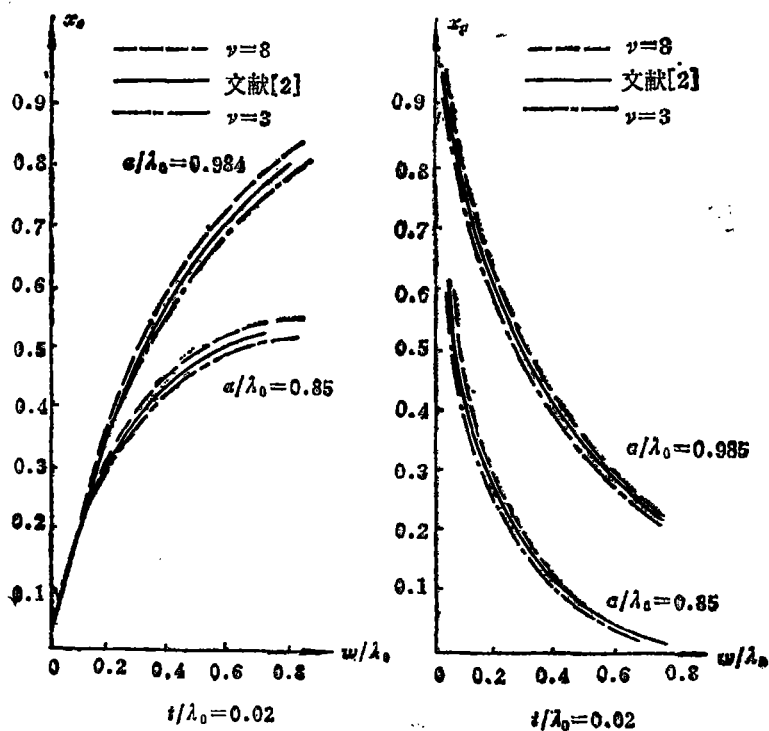


图 5 x_s, x_p 取不同 ν 时与 W/λ_0 的关系计算结果

表 2

ν 值	膜 片 尺 寸			
	$W(1)=W(3)$	$W(2)=W(3)$	$L(1)=L(3)$	$L(2)(\text{mm})$
6	1.0417	3.9738	3.9763	3.9790
7	1.0468	3.9802	3.9714	3.9741
8	1.0489	3.9805	3.9679	3.9705
9	1.0506	3.9887	3.9652	3.9678
10	1.0534	3.9887	3.9630	3.9657

(三)图 5 表明取不同 ν 时, x_p, x_s 的计算结果。

五、实验结果

(一) 八毫米波段滤波器

指标要求

$f_0=35.2\text{GHz}$, $f_1=34.7\text{GHz}$, $f_2=35.7\text{GHz}$, $f_3=33\text{GHz}$, $R=0.05\text{dB}$, $L_A=15\text{dB}$; 波导尺寸, $a=7.11\text{mm}$, $b=3.56\text{mm}$, 膜片厚度 $T=0.3\text{mm}$ 。

计算结果

$W_1=W_3=0.70\text{mm}$, $W_2=2.53\text{mm}$, $L_1=L_2=3.72\text{mm}$ 。

(二) 12.5mm 波段滤波器

$f_0=26.4\text{GHz}$, $f_1=26.0\text{GHz}$, $f_2=26.8\text{GHz}$, $f_3=24\text{GHz}$, $R=0.05\text{dB}$, $L_A=15\text{dB}$; 波导尺寸 $a=7.11\text{mm}$, $b=3.56\text{mm}$; 膜片厚度 $T=0.3\text{mm}$ 。

计算结果

$W(1)=W(4)=0.11(\text{mm})$; $W(2)=W(3)=1.39(\text{mm})$; $L(1)=L(3)=7.63(\text{mm})$; $L(2)=7.84\text{mm}$ 。

图 6 表示实测两种滤波器的曲线。实验证明, 计算与实测符合较好。

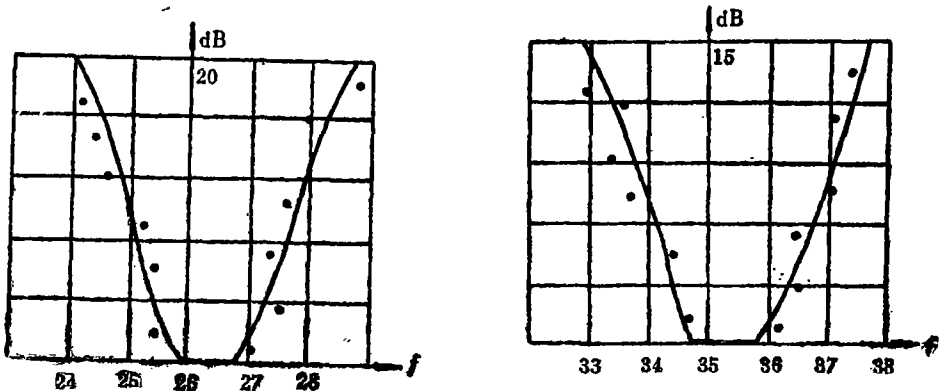


图 6 8 毫米及 1.25 厘米波导平面电路带通滤波器实测曲线

波导平面电路带通滤波器的设计方法, 实用性较广。在 x , K 及毫米波段都可实用。加工简单, 精度容易保证。该程序稍加修改可用于绪线滤波器的设计。

参 考 文 献

- [1] Y. Konishi, et al, The Design of a Band-pass Filters with Inductive Strip-planar Circuit mounted in waveguide, IEEE Trans on MTT-22, No 10, Oct 1974, PP. 869-873.
- [2] 李嗣范, 平面电路波导带通滤波器中电抗参数的计算, 南京工学院学报, 1979, No 2 PP.16.
- [3] 李嗣范, 陈忆元, 平面电路波导带通滤波器的机辅设计, 南京工学院学报, 1981.No 4. PP. 1-11.

CAD of a Band-pass Filters with Planar Circuit Mounted in Waveguide

He Changjun Chen Jieran

Abstract

This paper describes CAD of a band-pass filters with planar circuit mounted in waveguide.

Theoretical values agree very well with the experimental results. The computer program, with little reworking can be used to design other filters.